

ИНСТИТУТ ТЕОРЕТИЧЕСКОЙ И ЭКСПЕРИМЕНТАЛЬНОЙ ФИЗИКИ

ИТЭФ - 80

Ю.Д.Алешин, И.А.Драбкин, В.В.Колесников

Yu.D. Aleshin, I.A. Dryabkin, V.V. Kolensnikov

ГЕНЕРАЦИЯ K^\pm -МЕЗОНОВ НА Be-МИШЕНИ

ПОД УГЛОМ 62 МГАД ПРИ ИМПУЛЬСЕ НАЛЕТАЮЩИХ

ПРОТОНОВ 9,5 ГЭВ/с

K^\pm -meson production on Be - target
under 62 mrad angle at an incoming
proton momentum of 9.5 GeV/c

Москва

1977

УДК 539.172.12

M-16

В работе получены дифференциальные сечения выходов К-мезонов под углом 62 мрад в реакции $P + Be \rightarrow K^\pm + \text{все}$ при импульсе протонов 9,5 Гэв/с.

In dieser Arbeit werden die differentiellen Wirkungsquerschnitte der K-Mesonenausbeute mit einem Winkel von 62 mrad in der Reaktion $P + Be \rightarrow K^\pm + \text{alle}$ bei einem Protonenimpuls von 9,5 GeV/c bestimmt.

© ИТЭФ. 1977

Описание эксперимента

В данной работе измерялись дифференциальные сечения с образованием K^\pm -мезонов под углом 62 мрад в процессах $P + Be \rightarrow K^\pm + \bar{K}^\pm e^- e^+$ при начальном импульсе 9,5 Гэв/с.

Схема расположения аппаратуры и оборудования на пучке № 5II показана на рис. I и уже описывалась ранее в работе, где были измерены выходы π^\pm мезонов и протонов /I/.

Кроме магнитов M_1 и M_2 , образующих спектрометр, в настоящей схеме добавлены линзы $L_1 - L_6$, включение которых позволило существенно увеличить интенсивность в канале.

Частицы, выходящие с внутренней мишени под углом 62 мрад, захватывались в канал и регистрировались сцинтилляционными счётчиками $S_1 - S_4$ и дифференциальным газовым черенковским счётчиком (ДГС) γ_{1234} (с 4-кратными совпадениями).

В стороне от канала под углом 90 градусов к мишени располагались три сцинтилляционных счётчика S_4, S_2, S_3 , выполняющие роль монитора.

В данном эксперименте для выделения K -мезонов нами была улучшена электроника, работающая с дифференциальным черенковским счётчиком, применение которой позволило уменьшить размер диафрагмы до 2 мм и тем самым улучшить разрешение ДГС, не теряя эффективности /2/.

Все измерения спектрометра корректировались на показания монитора, а абсолютная привязка выходов числа частиц проводилась по нашим данным для выхода π -мезонов, полученных в работе /I/.

Измеренная точность выхода К-мезонов, генерированных на ядрах Be , составила $\sim 10\%$.

Вторичные частицы П- и К-мезоны надежно регистрировались в диапазоне импульсов от $3 \div 6,5$ Гэв/с, причём минимальный предел определялся числом выживших К-мезонов на длине 80 м при небольшой общей интенсивности ускорителя. Верхний диапазон по импульсу ограничивался $6,5$ Гэв/с, при котором выход К-мезонов падает из-за близости к кинематическому пределу рождения.

Состав пучка измерялся при выбранном импульсе с помощью дифференциального счётчика путем изменения давления газа фреона-13. Экспериментальные кривые, представляющие отношения счёта в совпадениях счётчиков $C_1 C_2 C_3 \pi_{1234}$ к счёту совпадающих счётчиков $C_1 C_2 C_3$ при импульсах 3, 4, 5, 6 и $6,5$ Гэв/с, как функция давления фреона-13 в черенковском счётчике показаны на рис. 2; сплошные кривые – для положительных частиц, пунктир – состав отрицательных частиц только при импульсе 4 Гэв/с. Кривые в области протонных пиков на рисунках не показаны. На этом рисунке видно, что с увеличением импульса частиц ширина П-мезонного пика уменьшается, так как уменьшается число μ -мезонов в пучке, которые дают вклад в пик П-мезонов.

Обработка данных и результаты

Экспериментальные выходы П- и К-мезонов были поправлены на поглощение и многократное рассеяние в черенковском и сцинтилляционных счётчиках, а также исправлены на распад и присутствие μ -мезонов в пучке. Величины поправочных коэффициентов как функции импульса частиц приведены на рис. 3, где кривая I – учитывает поправки при распаде

К-мезонов, кривая 2 – определяет поправки при многократном рассеянии и поглощении К-мезонов, кривая 3 – учитывает поправки при многократном рассеянии и поглощении П-мезонов, кривая 4 – относится к поправкам, учитывающим распад П-мезонов и присутствие в пучке ~~μ~~-мезонов. Абсолютное сечение выходов К-мезонов в реакции $P + Be \rightarrow K^\pm + \text{все}$ определялось по известному сечению выходов П-мезонов в реакциях $P + Be \rightarrow \pi^\pm + \text{все}$ /1,3/. Для этого экспериментальный спектр π^\pm -мезонов приводился к абсолютному дифференциальному сечению и затем по нему уже определялось дифференциальное сечение выхода K^\pm -мезонов. Сечение генерации K^- -мезонов определялось через сечение образования π^- -мезонов, используя данные работы /1,3/ при импульсе 4 Гэв/с. Результаты выходов K^\pm -мезонов показаны на рис.4 – темными точками, а выход K^- -мезонов при импульсе 4 Гэв/с показан светлым кружочком. Величины дифференциальных сечений K^\pm -мезонов представлены в таблице.

Сравнение экспериментальных данных с
расчётыми спектрами

Измеренные экспериментальные спектры К-мезонов в реакциях $P + Be \rightarrow K^\pm + \text{все}$ при импульсе налетающих протонов 9,5 Гэв/с сравнивались с расчётами, выполненными по формулам *Sanford* и *Wang* для образования K^\pm -мезонов

$$\frac{d^2\sigma}{dp d\Omega} = 0.059 \cdot \sigma_{in} \cdot P^{0.691} \left(1 - \frac{P}{P_i}\right) \cdot \exp$$

$$\left[\frac{3.744 \cdot P^{4.52}}{P_i^{4.19}} - 4.19 \cdot \theta \left(P - 0.1922 \cdot P_i \cdot \cos^{50.28} \theta \right) \right]$$

и для образования K^- -мезонов

$$\frac{d^2\sigma}{dp d\Omega} = 0.022 \cdot \sigma_{in} \cdot P_P^{1.323} \left(1 - \frac{P_P}{P}\right) \cdot \exp\left[-\frac{9.671 \cdot P_P^{1.712}}{P^{1.643}} - 4.673\right] \cdot \theta(P_P - 0.1686 \cdot P \cdot \cos^{77.27}\theta).$$

приведенных в работе /4/, где P — начальный импульс протонов, P_i — импульс вторичных K^\pm -мезонов,

θ — угол выхода вторичных частиц, $\sigma_{in} = 196$ мб — неупругое сечение поглощения протонов на Be.

На рис. 4 показаны результаты вычислений по формуле *Sanford* и *Wang*, пунктирной линией для реакции $P + Be \rightarrow K^+ + \text{все}$, сплошной линией для реакции $P + Be \rightarrow K^- + \text{все}$. Как видно из графика, в целом, имеется удовлетворительное согласие между экспериментальными точками и расчётными кривыми. Такое совпадение при начальном импульсе протонов 9,5 Гэв/с повышает значимость формулы *Sanford* и *Wang*, если учесть, что использованные параметры в расчёте были определены ранее при более высоких начальных импульсах.

Заключение

Обобщая полученные результаты, можно сделать вывод, что при энергии ускорителя ИТЭФ ~ 10 Гэв для расчёта интенсивности вторичных пучков при малых углах можно пользоваться универсальными эмпирическими формулами.

В заключение авторы работы выражают благодарность Л.И.Грандовскому за помощь при проведении эксперимента и Л.В.Левченко за оформление работы.

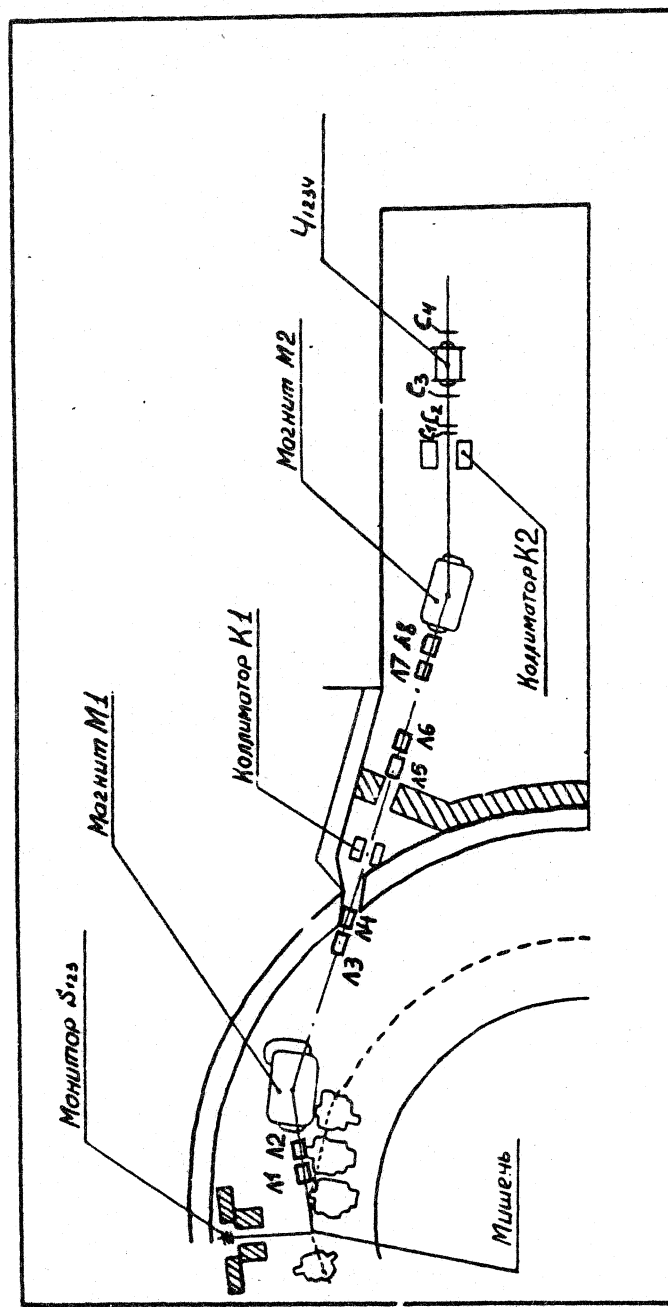


Рис. I. Схема расположения аппарата на пучке для измерения выходов K^+ - мезонов.

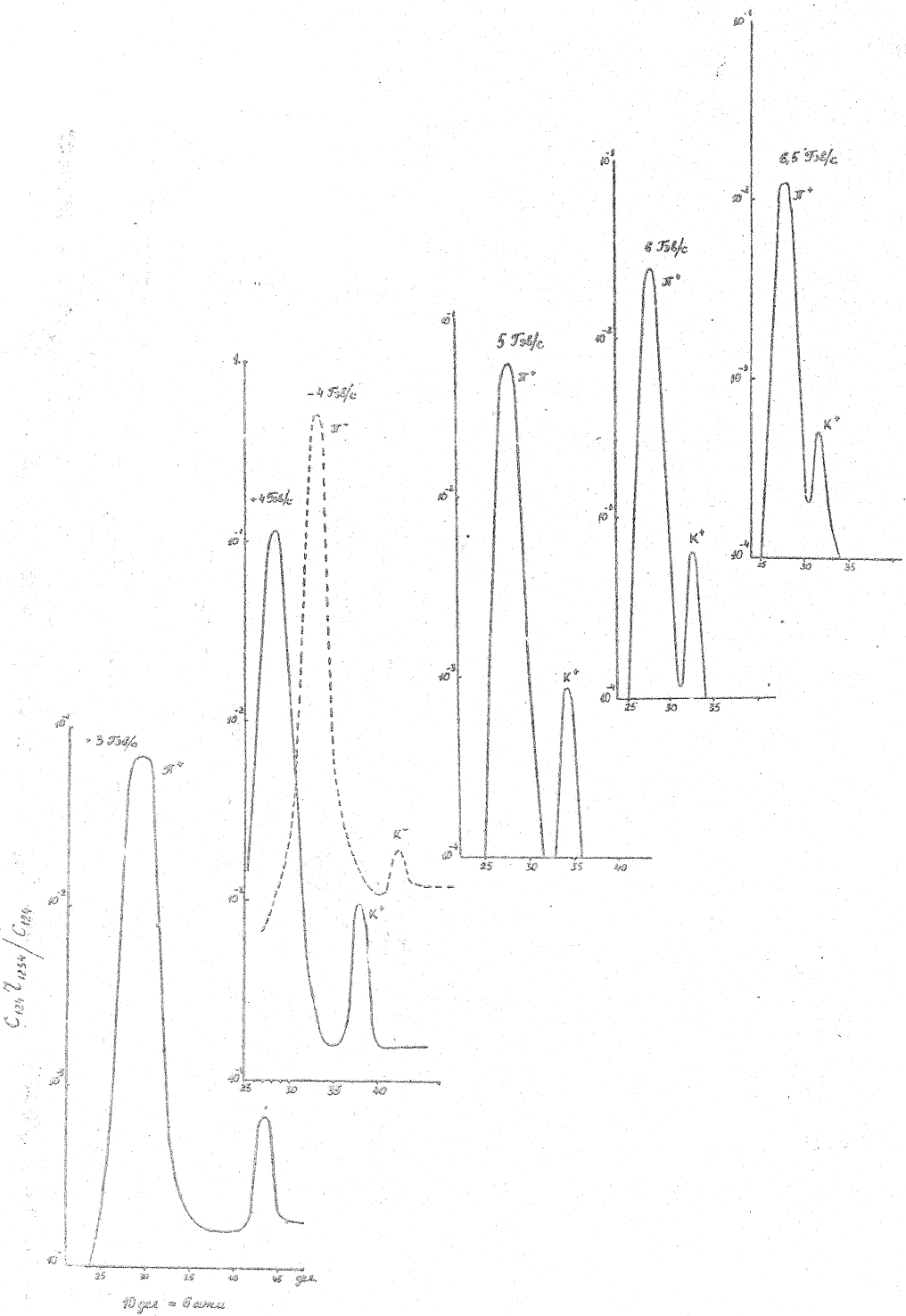


Рис. 2. Относительный состав π - и K -мезонов в лучке в интервале импульсов от 3 + 6,5 Гэв/с.

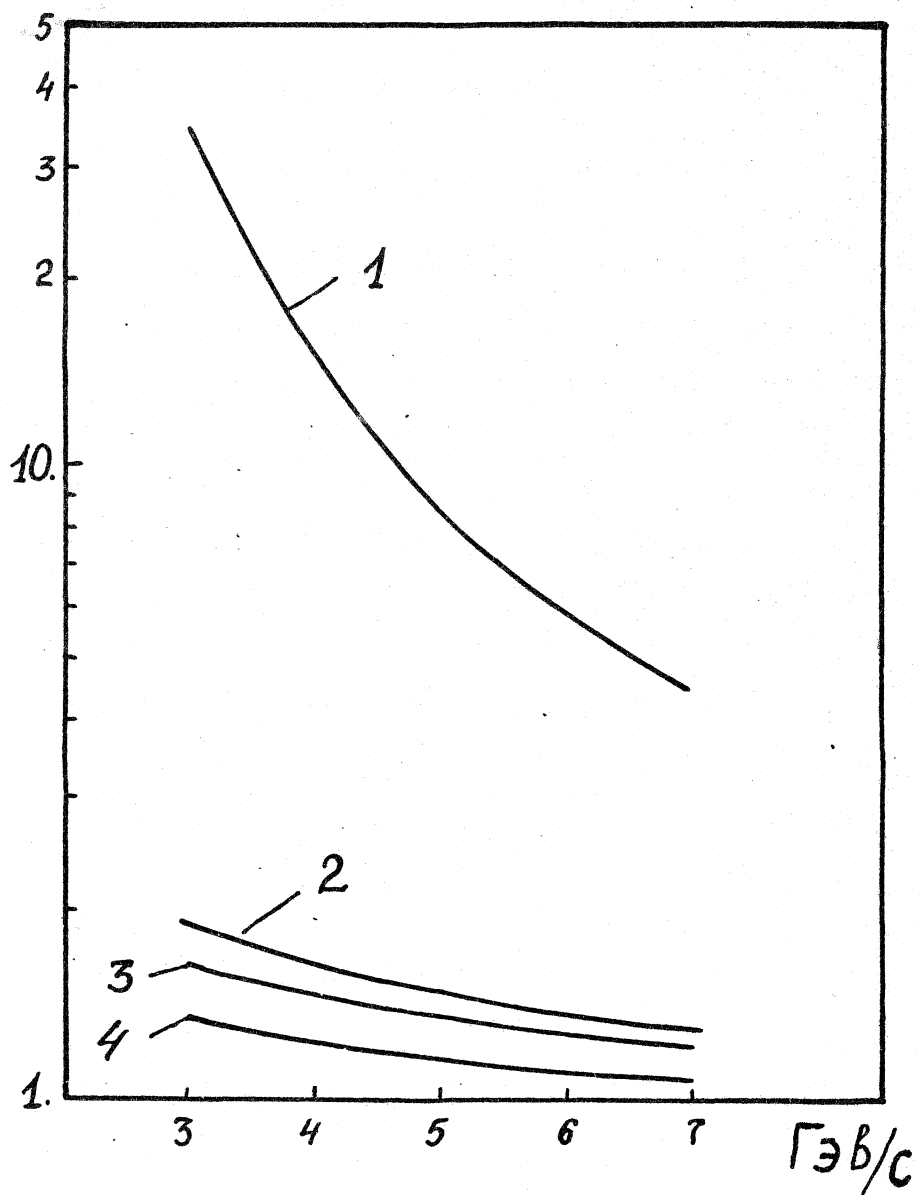


Рис.3. Зависимости поправочных коэффициентов как функции импульса Π и K -мезонов: 1-поправки, учитывающие распад K -мезонов; 2-поправки на многократное рассеяние и поглощение K -мезонов; 3-поправки на многократное рассеяние и поглощение Π -мезонов; 4-поправки на распад Π -мезонов и присутствие в пучке μ^- -мезонов.

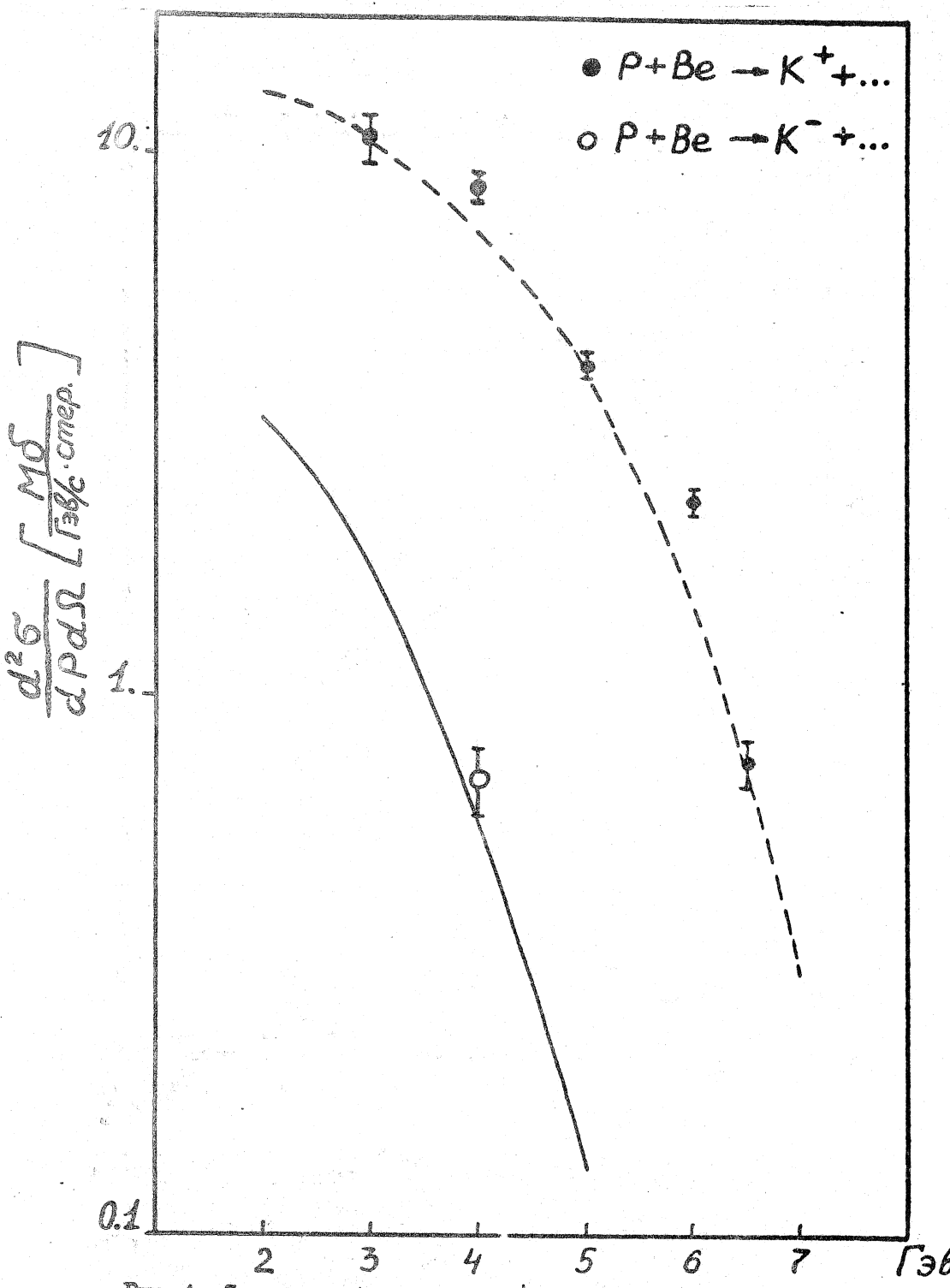


Рис.4. Спектры образования K^\pm -мезонов в реакции
 $P + Be \rightarrow K^+ + \dots$: темные точки — рождение K^+ -мезонов;
 светлая точка — рождение K^- -мезонов; пунктирная и сплошная
 линии — расчет по формуле *Sanford* и *Wang* для K^+ - и
 K^- -мезонов соответственно.

ТАБЛИЦА
 дифференциальных сечений образования K^\pm мезонов на Be
 мишени под углом $\theta = 62$ мрад и начальном импульсе
 протонов 9,5 Гэв/с.

Импульс Гэв/с	$d^2G \left[\frac{\text{мб}}{\text{Гэв/с} \cdot \text{стерао}} \right]$ $F + Be \rightarrow K^+ + Be$	$d^2G \left[\frac{\text{мб}}{\text{Гэв/с} \cdot \text{стерао}} \right]$ $P + Be \rightarrow K^- + Be$
3.02	10.8 ± 1.0	-
4.03	8.7 ± 0.5	0.69 ± 0.1
4.94	4.1 ± 0.2	-
6.01	2.3 ± 0.1	-
6.52	0.75 ± 0.07	-

Л И Т Е Р А Т У Р А

1. А л е ш и н Ю.Д. и др. Образование протонов и П-мезонов. М.. Препринт ИТЭФ, 1976, № 137.
2. А л е ш и н Ю.Д. и др. Дифференциальный черенковский счетчик. М., Препринт ИТЭФ, 1975, № 41.
3. Б а р а б а ш Л.З. и др. Выходы вторичных частиц под углом 62 мрад на протонном синхротроне ИТЭФ. М., Препринт ИТЭФ, 1976, № 17.
4. S a n f c r d J.R., W a n g C.L. BNL-JRS/CLW-2, 1967.

Работа поступила в ОНТИ 7/УІ-1977г.

Подписано к печати 17/УІ-77г. Т-ІІ359. Формат 70x106 1/16.
Печ.л.0,75. Тираж 250 экз. Заказ 80. Цена 4 коп. Индекс 3624.

Отдел научно-технической информации ИТЭФ, 117269, Москва